

УДК624.04

## ПОЭТАПНАЯ ОПТИМИЗАЦИЯ ИЗГИБАЕМЫХ ЭЛЕМЕНТОВ ДВУТАВРОВОГО СЕЧЕНИЯ ПРИ НЕЧЕТКОМ ПОДХОДЕ К УЧЕТУ КОРРОЗИИ И ЗАЩИТНЫХ СВОЙСТВ АНТИКОРРОЗИОННОГО ПОКРЫТИЯ

М. М. Фридман, канд. техн. наук,  
[mark17@i.ua](mailto:mark17@i.ua)

Криворожский металлургический  
институт Национальной  
металлургической академии  
Украины,  
50006, Украина, Днепропетровская обл.,  
г. Кривой Рог, ул. Степана Тильги, 5

*Данная работа является продолжением исследования в области оптимального проектирования конструкций при комбинированном подходе к учету коррозии и антикоррозионных защитных свойств покрытий. Как отмечалось ранее, такие покрытия представляют собой барьерные слои, затрудняющие проникание агрессивной среды к поверхности конструкции и отодвигающие начало процесса интенсивной коррозии. В этом случае важно учитывать не только коррозионное воздействие на конструкцию, но также уметь оценить время, за которое антикоррозионное покрытие теряет свои защитные свойства. Так как конструктивные элементы с разрушенным защитным покрытием в состоянии продолжать воспринимать действующие нагрузки в течение значительного промежутка времени, нужно учитывать их ускоренный коррозионный износ в зонах с разрушенными участками покрытий. Следовательно, работа защищённых покрытиями конструкций складывается из двух периодов: периода работы с защитным покрытием (в течение которого это покрытие теряет защитные свойства и разрушается) и периода работы с разрушенным защитным покрытием (когда имеет место интенсивный коррозионный износ незащищенных участков конструкций). Предложенная в предыдущем исследовании модель (и реализованная на примере оптимизации изгибаемых элементов прямоугольного сечения) позволяет учитывать плавный переход работы конструкций с защитным покрытием и временем работы конструкции, когда защитные свойства антикоррозионного покрытия практически не действуют. В настоящей работе рассматривается решение более сложной (в силу своей многоэкстремальности) задачи оптимизации (нахождения оптимальной формы) изгибаемых элементов конструкций 1-го (двутаврового) сечения при нечетком подходе к учету коррозии и защитных свойств антикоррозионного покрытия.*

**Ключевые слова:** *коррозия, антикоррозионные покрытия, оптимизация.*

### Введение

Работа конструкций в условиях агрессивных сред приводит к их коррозионному износу. В этом случае не следует забывать, что при построении математических моделей коррозионного износа конструкций необходимо также учитывать работу защитных покрытий и определять продолжительность инкубационного периода, который представляет собой долговечность применяемых защитных покрытий. Конструктивные элементы с разрушенным защитным покрытием в состоянии продолжать воспринимать действующие нагрузки в течение значительного времени, только нужно учитывать их ускоренный коррозионный износ в зонах с разрушенными участками покрытий. Следовательно, работа защищённых покрытиями конструкций складывается из двух периодов: с защитным покрытием (в течение которого это покрытие теряет защитные свойства и разрушается) и с разрушенным защитным покрытием (когда имеет место интенсивный коррозионный износ незащищенных участков конструкций).

К настоящему времени построен ряд моделей, учитывающих снижение защитных свойств полимерных покрытий и моделей деформирования конструкций с защитными полимерными покрытиями, например, [1–3].

Данная работа является продолжением исследования в области оптимального проектирования конструкций при комбинированном подходе к учету коррозии и антикоррозионных свойств покрытий, проведенного в [4]. Предложенная (и реализованная на примере оптимизации изгибаемых элементов прямоугольного сечения) в [4] модель позволяет учитывать плавный переход работы конструкций как с защитным покрытием, так и без такового.

В данной статье рассматривается решение более сложной, чем в [4] (в силу своей многоэкстремальности), задачи оптимизации (нахождения оптимальной формы) изгибаемых конструкций 1-го (двутаврового) сечения при нечетком подходе к учету коррозии и защитных свойств антикоррозионного покрытия.

### 1. Постановка задачи

Выберем в качестве базового уравнения коррозии модель, предложенную В. М. Долинским [5], которая учитывает влияние напряжений на коррозионный износ конструкций (рис. 1)

$$\frac{dS}{dt} = \begin{cases} 0, & \text{при } t < t_{ink} \\ -2(\alpha + \beta|\sigma_m|), & \text{при } t \geq t_{ink} \end{cases}, \quad (1)$$

где  $\alpha$  и  $\beta$  – постоянные коэффициенты;  $S_0$  и  $S$  – начальная и текущая толщина полки двутавра (рис. 1);  $\sigma_m$ ,  $t_{ink}$  – соответственно максимальные напряжения и время, за которое конструкция полностью теряет свои антикоррозионные свойства в текущем сечении.

Принимается, что коррозии подвержены верхняя и нижняя грани сечения и предлагается следующая нечеткая модель коррозионного износа с учетом снижения защитных свойств покрытия [4]:

$$\frac{dS}{dt} = \begin{cases} -2(\alpha + \beta|\sigma_m|)(1 - D), & \text{при } 0 < D \leq 1 \\ -2(\alpha + \beta|\sigma_m|), & \text{при } D = 0, \end{cases} \quad (2)$$

где  $D$  – параметр, характеризующий защитные свойства рассматриваемого покрытия (в начальный момент времени принимается равным единице, а в момент потери защитных свойств  $D=D_k$ ) определяется из уравнения [4]

$$dD / dt = -A(1 + m\sigma), \quad (3)$$

где  $A$  – коэффициент, учитывающий влияние вида защитного покрытия и характера агрессивной среды;  $m$  – коэффициент, учитывающий влияние уровня напряженного состояния на кинетику снижения защитных свойств покрытия;  $\sigma$  – эквивалентные напряжения.

### 2. Решение уравнений коррозии и определение времени полной потери антикоррозионного покрытия конструкции

Перейдем к решению уравнений (2). Из уравнения (3) имеем

$$dt = -\frac{dD}{A(1 + m\sigma)}. \quad (4)$$

Подставив (4) в верхнюю часть уравнения (2) и разделяя переменные, получим

$$\frac{A(1 + m|\sigma|)dS}{2(\alpha + \beta|\sigma|)} = (1 - D)dD \quad (5)$$

Принимая, что изгиб конструкции 1-го сечения происходит в плоскости  $xz$  и что при изгибе работают в основном полки I-а, найдем его геометрические характеристики.

Момент инерции 1-го сечения

$$I_y \approx 2BS(H/2 + S/2)^2 = 2BS(H^2/4 + HS/2 + S^2/4) \approx 2BS(H^2/4 + HS/2) = HBS(H/2 + S).$$

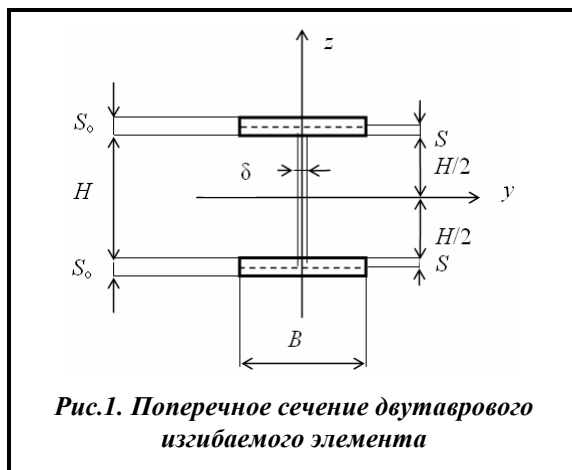
Тогда момент сопротивления 1-го сечения и максимальные напряжения в нем определяются соответственно как

$$W_y = \frac{I_y}{H/2 + S} = \frac{HBS(H/2 + S)}{H/2 + S} = HBS \quad \text{и} \quad \sigma = |\sigma_{\max}| = \frac{M}{W_y} = \frac{M}{HBS}. \quad (6)$$

Подставив (6) в (5) и переходя к интегрированию, имеем

$$\int_1^0 (1 - D)dD = \frac{A}{2} \int_{S_0}^S \frac{(1 + mM/BSH)}{(\alpha + \beta M/BSH)} dS. \quad (7)$$

После интегрирования (7) получим следующее решение верхней части уравнения (2):



$$S_o - S + (a - b) \ln \frac{S_o + b}{S + b} = \frac{\alpha}{A}, \quad (8)$$

где  $a = mM / BH$ ;  $b = \beta M / BH\alpha$ .

Прежде чем перейти к решению нижней части уравнения (2), найдем время  $T_*$ , за которое конструкция 1-го сечения полностью теряет свое антикоррозионное покрытие (имеется в виду верхняя и нижняя грани полок I-a). Вывод выражения  $T_*$  осуществляется аналогичным образом, как и в [4].

Принимая верхний предел интеграла в правой части уравнения (7) за  $D$ , после интегрирования получим уравнение, аналогичное (8)

$$D^2 - 2D + 1 + \frac{A}{\alpha} \left[ S - S_o + (a - b) \ln \frac{S + b}{S_o + b} \right] = 0.$$

Отсюда

$$D = 1 + \sqrt{-\frac{A}{\alpha} \left[ S - S_o + (a - b) \ln \frac{S + b}{S_o + b} \right]}. \quad (9)$$

Дифференцируя левую и правую части уравнения (9), имеем

$$dD = \frac{1}{2} \frac{A/\alpha [-1 + (b - a)(S + b)]}{\sqrt{\frac{A}{\alpha} \left[ (S_o - S) + (a - b) \ln \frac{S_o + b}{S + b} \right]}} dS. \quad (10)$$

Подставив (10) в (4), после интегрирования получим следующее интегральное выражение для  $T_*$ :

$$T_* = \frac{1}{2\alpha} \int_{S_o}^S \frac{1 + (a - b)/(S + b)}{(1 + a/S) \sqrt{\frac{A}{\alpha} \left[ S_o - S + (a - b) \ln \frac{S_o + b}{S + b} \right]}} dS.$$

Приближенное значение  $T_*$  может быть найдено из (4) (при  $D_k = 0$ ) по формуле

$$T_* \approx \frac{1}{A(1 + M / BHS_{cp})},$$

где  $S_{cp} = (S_o + S)/2$ .

Для решения нижней части уравнения (2) разделим в нем переменные

$$\int_S^{S_k} \frac{dS}{1 + \beta M / BHS\alpha} = -2\alpha \int_0^{T_k} dt, \quad (11)$$

где  $S_k$  – критическая толщина двутавра, определяемая из принципа равнонапряженности конструкции в конечный момент времени ее эксплуатации  $T$  по формуле  $S_k = M / [\sigma]BH$ ;  $[\sigma]$  – предельно допустимые напряжения конструкции;  $T_k$  – время эксплуатации конструкции после полного отсутствия антикоррозионной защиты, определяемое (как и в [4]) по формуле  $T_k = T - T_*$ .

После интегрирования (11) окончательно имеем

$$-\frac{M}{[\sigma]BH} + S + b \ln \frac{M / [\sigma]BH + b}{S + b} = 2\alpha(T - T_*). \quad (12)$$

После решения уравнений (2), а также определения времени  $T_*$  за которое верхняя и нижняя грани полок I-a полностью теряют антикоррозионное покрытие, можно непосредственно перейти к процессу оптимизации.

### 3. Поэтапное решение задачи оптимизации

Принимая (как и в [4]) в качестве функции цели начальный вес (или объем) конструкции, следует заметить, что процесс ее (функции цели) минимизации представляется сложнее, чем в случае оптимизации

прямоугольного сечения. Предварительные расчеты, с помощью алгоритма метода случайного поиска [6], показали, что если в вектор варьируемых параметров включить все размеры I-а, т.е. для каждого фиксированного значения  $x$  принять в качестве вектора варьируемых параметров  $\bar{X} = \{x_1, x_2, x_3, x_4, x_5\}^T = \{S_0, S, H, B, \delta\}^T$ , то задача оптимизации является многоэкстремальной (имеет много локальных минимумов) и трудно разрешимой. В этом случае задача оптимизации была разбита на 2 этапа.

### 3.1. Первый этап оптимизации

На первом этапе оптимизации в вектор варьируемых параметров для каждого фиксированного значения  $x$  включается начальная толщина полки, толщина полки в момент времени  $T_*$ , ширина полки  $B$  и толщина стенки I-а  $\delta$ , то есть

$$\bar{X} = \{x_1, x_2, x_3, x_4\}^T = \{S_0, S, B, \delta\}^T.$$

Значение высоты стенки  $H$  по длине конструкции принимается фиксированным.

В качестве численной реализации (как и в [4]) рассмотрим оптимизацию консольной балки с силой  $F$  на конце. Исходные данные задачи:  $F=10$  кН; длина балки  $L=1$  м;  $m=0,005$  МПа<sup>-1</sup>;  $\alpha=1$  мм/год;  $A=0,732$  год<sup>-1</sup>;  $\beta=1 \times 10^{-3}$  мм/(МПа×год);  $[\sigma]=210$  МПа;  $T=5$  лет.

Принимались следующие конструктивные ограничения: 1)  $B/S_k \leq 24$ ; 2)  $H/\delta \leq 60$ ; 3)  $\delta \geq 3$  мм; 4)  $B \geq 3$  мм; 5)  $S_0 \leq 30$  мм.

При оптимизации рассматривались три варианта различных значений высоты стенки первого сечения  $H$ : а)  $H_1=80$  мм; б)  $H_2=100$  мм; в)  $H_3=120$  мм.

Оптимальные размеры начальной толщины полки двутавра  $S_0(x)$ , их вид в момент времени  $T_*$  –  $S(x)$  и в конечный момент времени эксплуатации конструкции  $S_k(x)$  показаны на рис. 2. Оптимальные размеры ширины полки и толщина стенки первого сечения консольной балки во всех ее пунктах приведены на рис. 3. Зависимости изменения площади поперечного сечения  $A_0(x)$  по всей длине балки (для вариантов а, б и в) показаны на рис. 4.

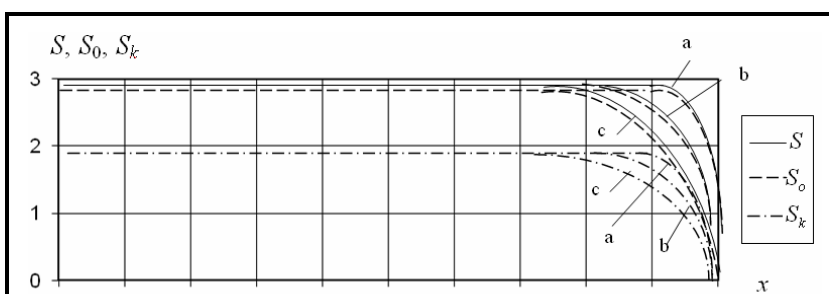


Рис.2. Оптимальные размеры начальной толщины полки и их вид в переходный и в конечный моменты времени

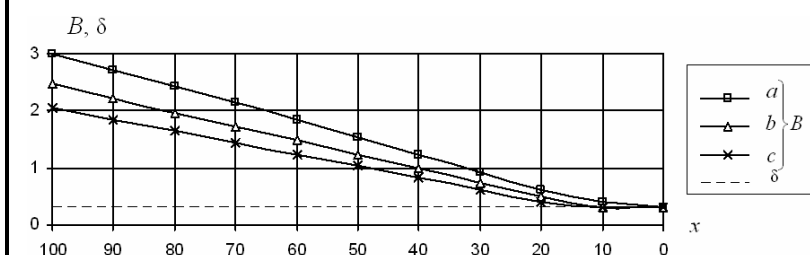


Рис.3. Оптимальное очертание ширины полки и толщина стенки двутаврового сечения балки

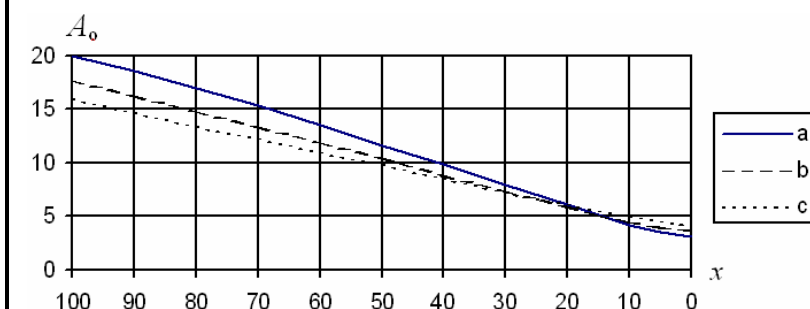


Рис.4. Зависимости изменения площади поперечного сечения балки

Как видно из рис. 2, во всех трех вариантах оптимальная толщина полки  $S_0$  достигает своего максимума (30 мм) практически по всей длине консоли, то есть ограничение 5 является активным в процессе поиска оптимальных решений. Исключение составляет участок консоли, близкий к опоре ( $x \leq 100$  мм), начиная с которого идет резкое снижение начальной толщины, причем конечная ее величина

при  $x=0$  составляет  $S_0=\alpha(2T-1/A)=8,63$  мм. Данное аналитическое выражение легко получается из системы уравнений (8) и (12), взятых при  $x=0$

$$\begin{cases} S_0 - S = \alpha / A \\ S = 2\alpha(T - T_*) \end{cases} \quad (13)$$

где  $T_* = 1/A$ .

Тенденция к резкому снижению после равного участка (аналогично  $S_0(x)$ ) сохраняется и для кривых  $S(x)$  и  $S_k(x)$ , причем величина  $S$  мало отличается от величины  $S_0$  по всей длине консоли (практически на толщину защитного антикоррозионного слоя, что было отмечено и для прямоугольной балки). Из (13) видно, что при  $x=0$  разность  $S_0-S = \alpha/A = 1,37$  мм.

Оптимальная величина стенки первого сечения достигает своего минимума по всей длине консоли, то есть  $\delta=3$  мм, причем во всех вариантах расчета (см. рис. 3).

Что касается кривых  $B(x)$ , то видно, что оптимальная ширина полок в соответствующих пунктах обратно пропорциональна соответствующей высоте стенки двутавра. Так, при  $H=80$  мм, мы имеем ширину полок  $B$  (практически по всей длине консоли) выше, нежели в варианте  $b$ , где  $H=100$  мм. Та же закономерность очевидна при сравнении вариантов  $b$  и  $c$ .

Данная тенденция характерна во всех пунктах консоли, опять же кроме участка при  $x \leq 100$  мм, где кривые  $B(x)$  асимптотически приблизились к своему минимальному значению ( $B=30$  мм), что и объясняет резкое снижение на этом участке кривых  $S_0(x)$ ,  $S(x)$  и  $S_k(x)$ , полученное в результате оптимизации (минимизации) поперечного сечения  $A_0$ .

Сравнивая кривые зависимости поперечного сечения консоли по его длине  $A_0(x)$  для всех вариантов (рис. 4), можно сделать вывод, что при  $x > 200$  мм площадь поперечного сечения обратно пропорциональна заданной высоте стенки  $H$ , при  $x=200$  мм они практически равны ( $A_0 \approx 60$  мм) – кривые пересекаются, а при  $x < 200$  мм наблюдается прямая зависимость  $A_0$  от  $H$ .

В результате оптимизации первого этапа во всех вариантах получен плавный переход от первого сечения (на участке  $100 \text{ мм} \leq x \leq 1000$  мм) к прямоугольному (при  $x \leq 100$  мм), рис. 3.

### 3.2. Второй этап оптимизации

Учитывая результаты, полученные выше, переходим ко второму этапу. Так как на участке  $100 \text{ мм} \leq x \leq 1000$  мм в процессе оптимизации начальная толщина полки не меняется, как и толщина стенки  $\delta$ , то принимаем их здесь фиксированными, а именно,  $S_0=30$  мм и  $\delta=3$  мм. В этом случае вектор варьируемых параметров на этом участке принимается как  $\bar{X} = \{H, B\}^T$ . При  $x \leq 100$  мм неизменными остаются ширина полок и стенка двутавра. На данном участке их можно принять фиксированными, а именно,  $B=\delta=3$  мм. Здесь вектор варьируемых параметров принимается как  $\bar{X} = \{S_0, S, H\}^T$ .

Результаты второго этапа оптимизации, полученные, как и выше, с помощью алгоритма метода случайного поиска [6], приведены на рис. 5, 6. Оптимальное очертание консольной балки показано на рис. 7.

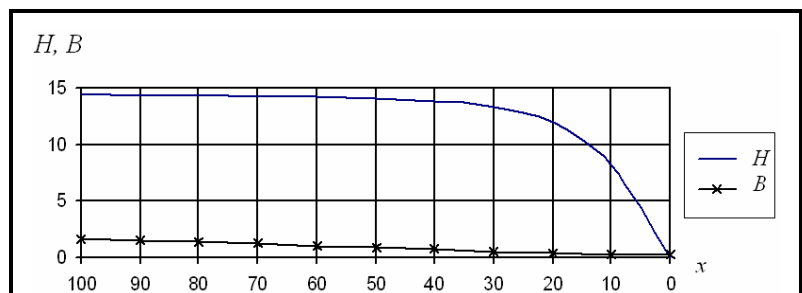


Рис.5. Оптимальные очертания ширины полок и высоты стенки двутаврового сечения балки

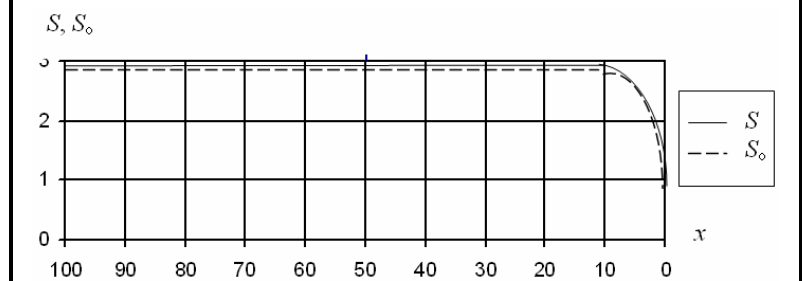


Рис.6. Оптимальное очертание начальной толщины полок двутавра и их вид в момент времени  $T_*$

## Выводы

Предложенная в [4] модель комбинированного подхода к учету коррозии и защитных свойств антикоррозионных покрытий была реализована при определении оптимальных размеров (рис. 5, 6) и формы (рис. 7) изгибаемых элементов двутаврового сечения на примере консольной балки. Как видно из рис. 7, в результате поэтапной оптимизации было установлено, что поперечное сечение балки (по всей ее длине, то есть при  $0 \leq x \leq 1000$  мм) из 1-го плавно переходит в прямоугольное, что имеет место при  $x=0$ .

Сравнительный анализ двух этапов оптимизации показан на рис. 8.

Из рис. 8 видно, что во всех пунктах  $x$  консольной балки оптимальные площади поперечного сечения, полученные во втором этапе, меньше (или, по крайней мере, равны) соответствующих площадей сечений, полученных на первом

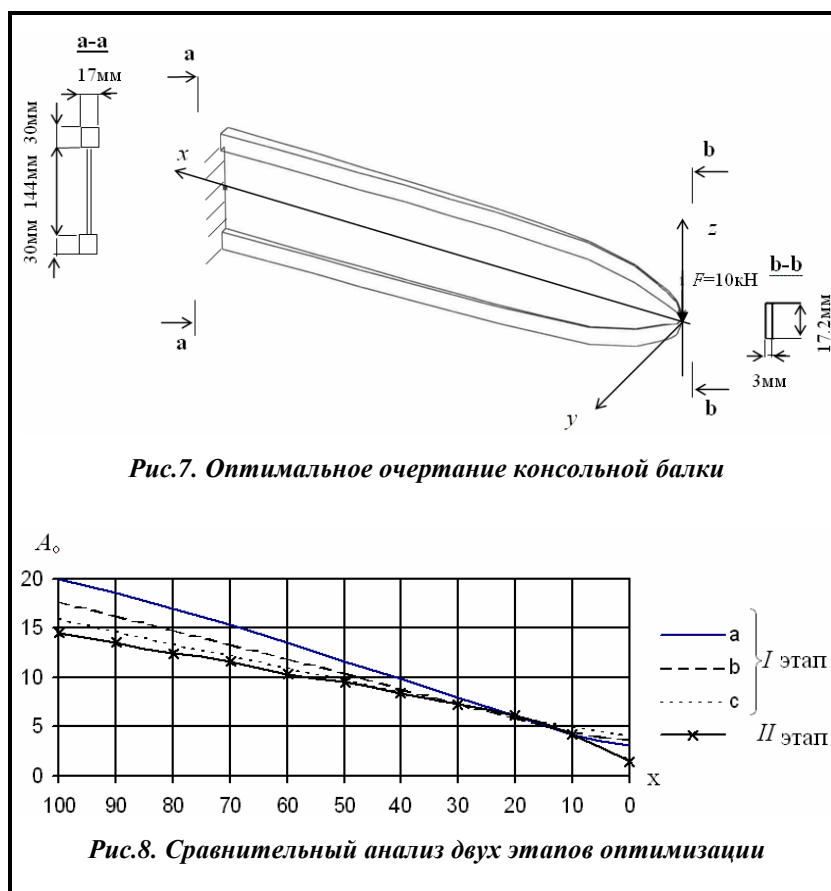


Рис.7. Оптимальное очертание консольной балки

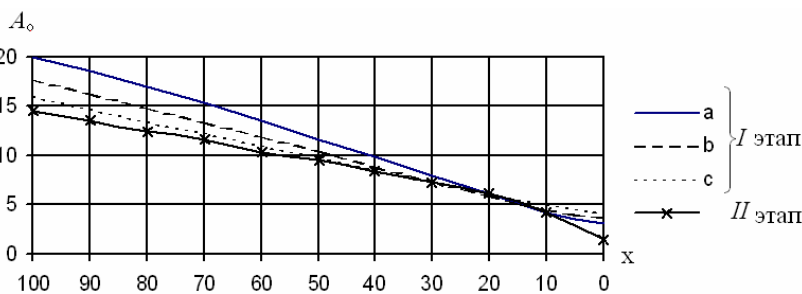


Рис.8. Сравнительный анализ двух этапов оптимизации

этапе, то есть  $A_0^{II}(x) \leq A_0^I(x)$ . Это и является доказательством того, что только в результате поэтапной оптимизации получена конструкция минимального веса.

В заключение следует отметить, что предложенная модель (2), реализованная при оптимизации элементов конструкций прямоугольного [4] и двутаврового сечений, работающих в условиях коррозии, может быть использована как при аналитических решениях, так и с помощью численных методов.

## Литература

1. Овчинников И. Г. О критериях предельного состояния защитных полимерных покрытий. *Изв. вузов. Строво и архит.* 1991. №2. С. 25–28.
2. Овчинников И. Г., Дворкин М. С., Сабитов Х. А. Банк математических моделей коррозионного износа, применяемых для прогнозирования поведения металлоконструкций. *Проблемы прочности материалов и конструкций, взаимодействующих с агрессивными средами.* Саратов: Саратов. техн. ун-т. 1993. С. 141–150.
3. Карякина М. И. Физико-химические основы процессов формирования и старения покрытий. М.: Химия, 1980. 198с.
4. Фридман М. М. Оптимальное проектирование конструкций при комбинированном подходе к учету коррозии и защитных свойств антикоррозионных покрытий. *Проблемы машиностроения.* 2017. Т.20. №3. С.64–68.
5. Долинский В. М. Расчет нагруженных труб, подверженных коррозии. *Хим. и нефт. машиностроение.* 1967. №2. С.21–30.
6. Гурвич Н. Б., Захарченко В. Г., Почтман Ю. М. Рандомизированный алгоритм для решения задач нелинейного программирования. *Изв. АН СССР. Техн. кибернетика.* 1979. №5. С.15–17.

Поступила в редакцию 05.03.2018